

# Series de Fourier

---

Ing. José Miguel Barboza Retana  
Escuela de Ingeniería Electrónica  
Instituto Tecnológico de Costa Rica

Verano 2019-2020

# Series generalizadas de Fourier

---

# Combinación lineal de funciones

Un conjunto de funciones ortogonales  $u_i(t)$  conforma una base de un espacio funcional

$$\mathcal{U} = \{u_{n_1}(t), u_{n_1+1}(t), \dots, u_{n_2-1}(t), u_{n_2}(t)\}$$

que engendra las funciones

$$x_m(t) = \sum_{i=n_1}^{n_2} c_i u_i(t)$$

# Determinación de coeficientes

Utilizando propiedades de espacios lineales

(1)

$$\langle u_k(t), x(t) \rangle = \left\langle u_k(t), \sum_{i=n_1}^{n_2} c_i u_i(t) \right\rangle = \sum_{i=n_1}^{n_2} \langle u_k(t), c_i u_i(t) \rangle$$

$$= \sum_{i=n_1}^{n_2} c_i \langle u_k(t), u_i(t) \rangle = c_k \langle u_k(t), u_k(t) \rangle$$

$$c_k = \frac{\langle u_k(t), x(t) \rangle}{\|u_k(t)\|^2}$$

$$x(t) = \sum_{k=-\infty}^{\infty} c_k u_k(t)$$

# Serie Generalizada de Fourier

Como **serie generalizada de Fourier** se conoce a la combinación lineal

$$x(t) = \sum_{k=-\infty}^{\infty} c_k u_k(t) \quad (\text{Ecuación de síntesis})$$

con coeficientes calculados con

$$c_k = \frac{\langle u_k(t), x(t) \rangle}{\|u_k(t)\|^2} \quad (\text{Ecuación de análisis})$$

siempre y cuando la base funcional  $\{u_k(t)\}, k \in \mathbb{Z}$  sea completa.

# Base canónica para funciones

---

# La función canónica $\delta(t)$

Se busca entonces una función  $\delta(t - t')$ , tal que

$$x(t') = \langle \delta(t - t'), x(t) \rangle = \int_{-\infty}^{\infty} \delta(t - t') x(t) dt$$

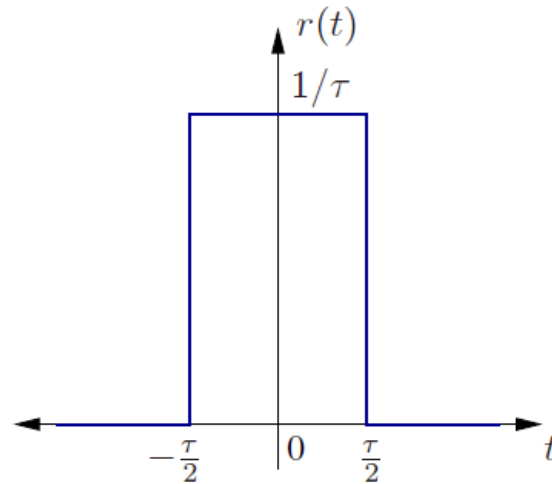
Si se toma por ejemplo  $x(t) = 1$  y se realiza un cambio de variable  $\xi = t - t'$  entonces se debe cumplir

$$\int_{-\infty}^{\infty} \delta(\xi) d\xi = 1$$

lo que indica que el área bajo la curva de la función  $\delta(t)$  debe ser igual a uno.

# Impulso rectangular

Se parte entonces de un impulso rectangular de área unitaria



El conjunto generador dado por

$$\mathcal{U}_\tau = \{ \dots, r(t + 3\tau), r(t + 2\tau), r(t + \tau), r(t), r(t - \tau), r(t - 2\tau), r(t - 3\tau), \dots \}$$

es ortogonal, puesto que los desplazamientos ocurren siempre en múltiplos del ancho del impulso ( $r(t - k\tau)$  con  $k \in \mathbb{Z}$ ).



# Norma de impulsos rectangulares

La norma de dichos impulsos está dada por:

$$\|r(t - k\tau)\| = \sqrt{\int_{-\infty}^{\infty} |r(t - k\tau)|^2 dt} = \sqrt{\frac{1}{\tau}}$$

y el coeficiente  $c_k$  correspondiente a la función  $r(t - k\tau)$ , necesario para aproximar una función  $x(t)$  se calcula como:

$$c_k = \frac{\langle r(t - k\tau), x(t) \rangle}{\|r(t - k\tau)\|^2} = \tau \int_{k\tau - \frac{\tau}{2}}^{k\tau + \frac{\tau}{2}} \frac{1}{\tau} x(t) dt = \int_{k\tau - \frac{\tau}{2}}^{k\tau + \frac{\tau}{2}} x(t) dt$$

y considerando que la integral en un intervalo es siempre igual a la longitud del intervalo multiplicada por el valor de la función en un punto particular  $t'_k \in [k\tau - \frac{\tau}{2}, k\tau + \frac{\tau}{2}]$ :

$$c_k = x(t'_k)\tau$$

# Coeficiente de $r(t - k\tau)$

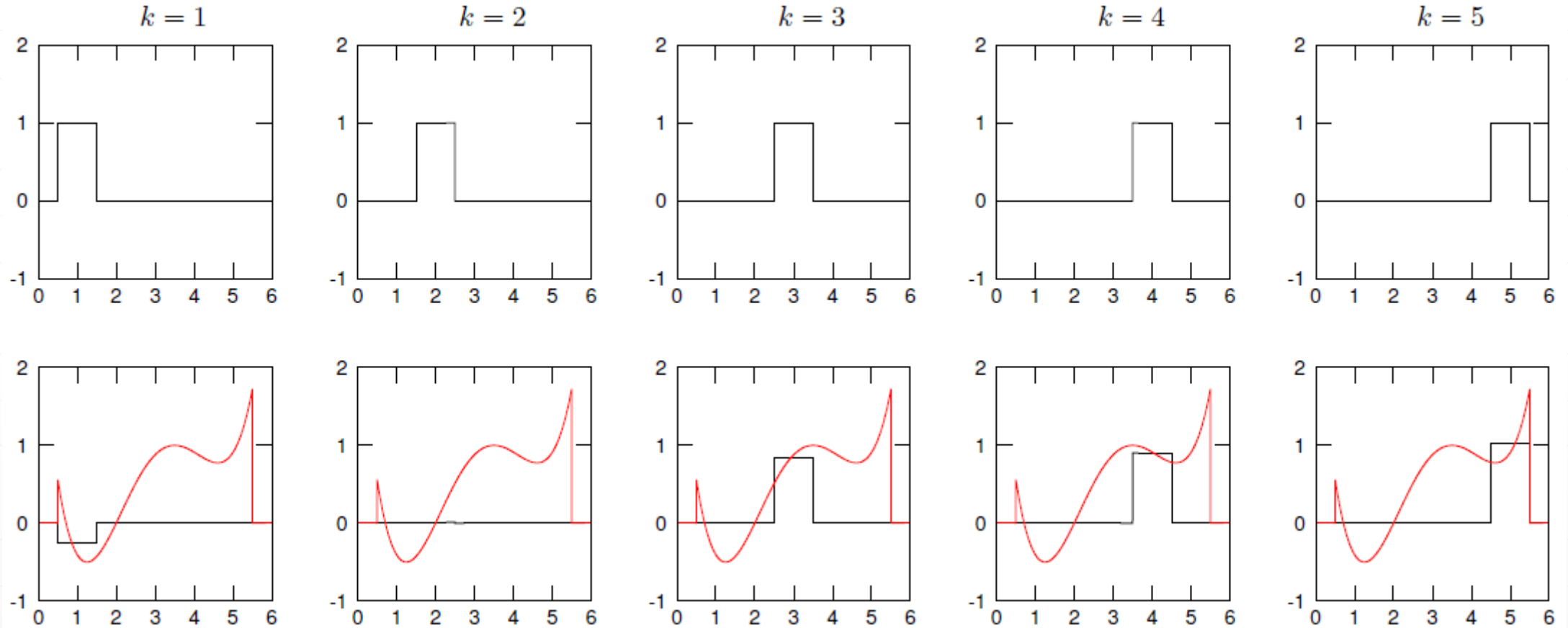
(1)

El  $k$ -ésimo término de la combinación lineal está dado por  $c_k r(t - k\tau)$ , y así, la mejor aproximación de la función  $x(t)$  con la base ortogonal  $\mathcal{U}_\tau$  es:

$$x_a(t) = \sum_{k=-\infty}^{\infty} c_k r(t - k\tau) = \sum_{k=-\infty}^{\infty} x(t'_k) r(t - k\tau) \tau$$

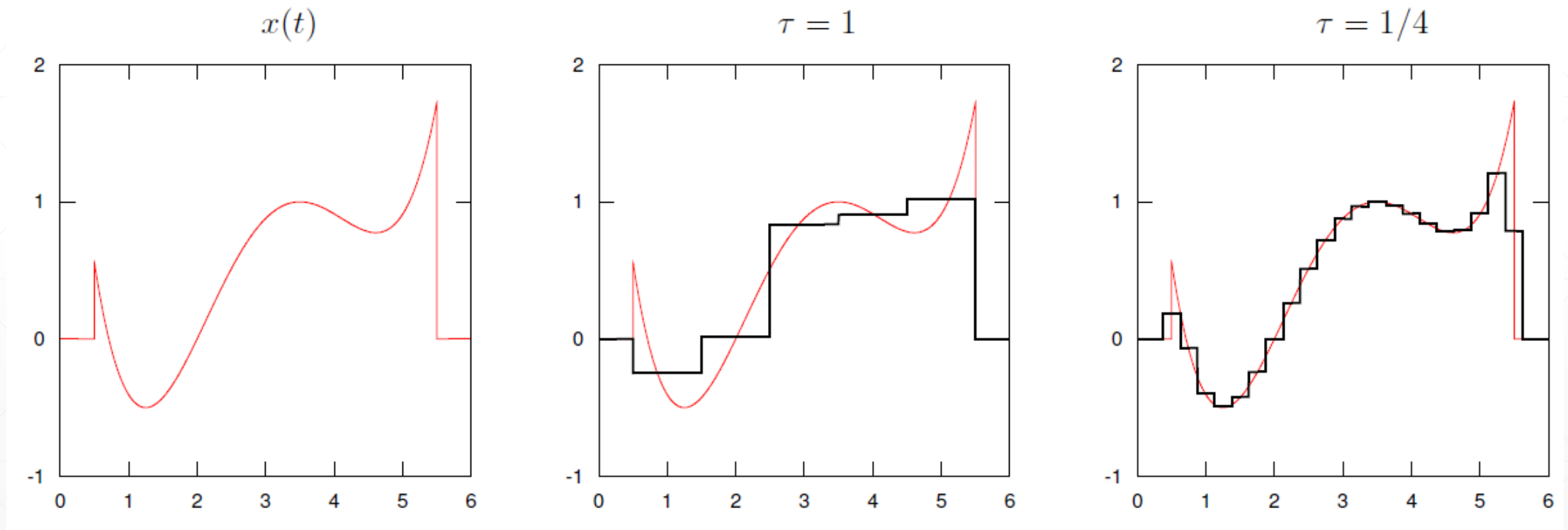
# Coeficiente de $r(t - k\tau)$

(2)



# Aproximaciones con impulsos rectangulares

Ejemplo con  $\tau = 1$  y  $\tau = 1/4$  de las mejores aproximaciones:



# Espacio funcional completo o espacio de Hilbert

- Para un valor de  $\tau$  finito el espacio engendrado **no es completo**, puesto que  $\|x(t) - x_a(t)\|$  no puede hacerse arbitrariamente pequeña.
- La base es completa cuando  $\tau$  se hace tender a cero, de modo que

$$\delta(t) = \lim_{\tau \rightarrow 0} r(t) = \begin{cases} \infty & \text{para } t = 0 \\ 0 & \text{para } t \neq 0 \end{cases}$$

$$\int_{-\infty}^{\infty} \delta(t) dt = 1$$

$$x(t) = \lim_{\tau \rightarrow 0} \sum_{k=-\infty}^{\infty} x(t'_k) r(t - k\tau) \tau \stackrel{!}{=} \int_{-\infty}^{\infty} x(t') \delta(t - t') dt'$$

Donde, puesto que  $t'_k \in \left[k\tau - \frac{\tau}{2}, k\tau + \frac{\tau}{2}\right]$ , al hacer  $\tau \rightarrow 0$  entonces  $t'_k = k\tau = t'$

# Ejemplo: Proyección de funciones sobre base canónica funcional (1)

Encuentre los términos de la combinación lineal que aproxima a la función  $x(t) = t^2 + 2t - 1$ , correspondientes a las funciones de la base canónica  $\delta(t + 1)$ ,  $\delta(t)$  y  $\delta(t - 1)$  con  $t \in \mathbb{R}$ .

# Ejemplo: Proyección de funciones sobre base canónica funcional (2)

## Solución:

- Con la base de impulsos rectangulares desplazados, el  $k$ -ésimo término de la combinación lineal está dado por  $c_k u_k(t)$ , con

$$c_k = x(k\tau)\tau$$

$$u_k(t) = r(t - k\tau)$$

- Si  $\tau \rightarrow 0$  se sustituye  $c_k$  por  $c_{t'} = x(t')dt$  y  $u_k(t)$  por

$$u_{t'}(t) = \delta(t - t')$$

# Ejemplo: Proyección de funciones sobre base canónica funcional

(3)

- Los términos  $x(t')\delta(t - t')dt$  solicitados son entonces:

$$x(-1)\delta(t + 1)dt = -2\delta(t + 1)dt$$

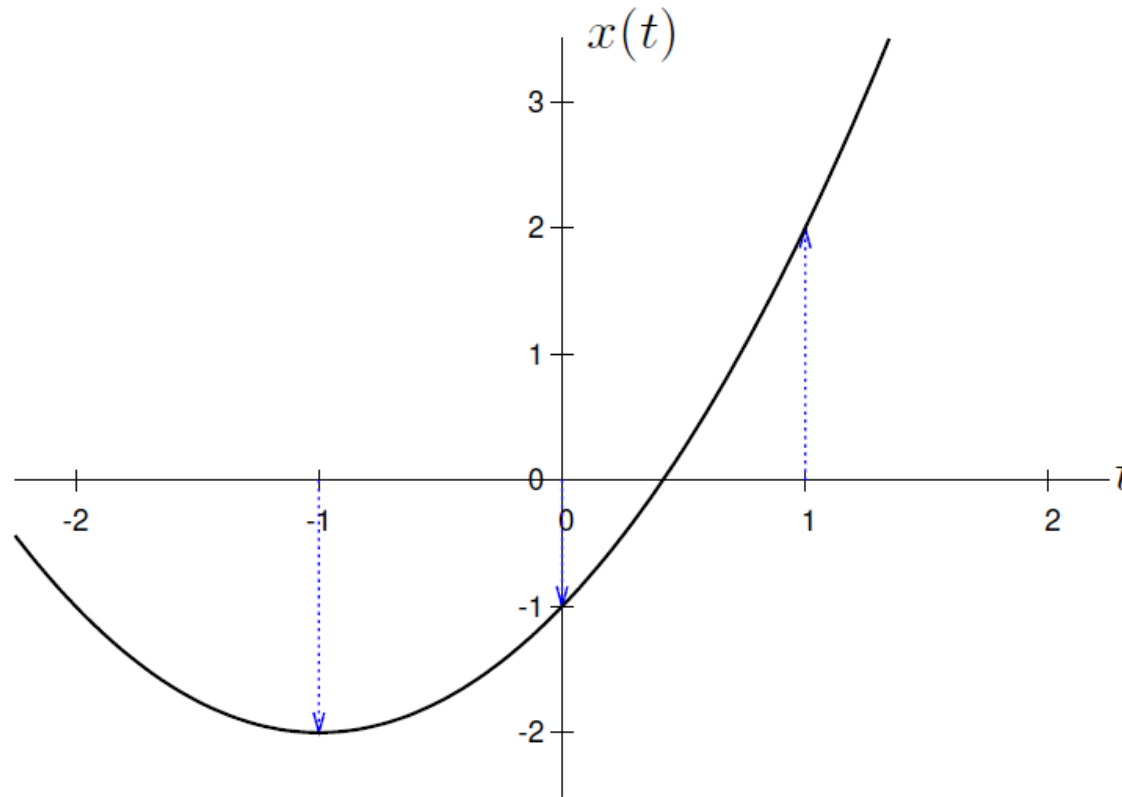
$$x(0)\delta(t)dt = -\delta(t)dt$$

$$x(1)\delta(t - 1)dt = 2\delta(t - 1)dt$$



## Ejemplo: Proyección de funciones sobre base canónica funcional (4)

La figura muestra la función sobrepuesta con las tres componentes calculadas. Nótese que  $\delta(t)dt$  tiene una amplitud uno, puesto que proviene de  $r(t)\tau = \tau/\tau = 1$ .



# Periodicidad y funciones armónicamente relacionadas

---

# Función periódica

- Se dice que  $x(t)$  es periódica, si para todo  $t$  se cumple

$$x(t) = x(t + T)$$

- A  $T$  se le denomina entonces **periodo** de la función  $x(t)$ .
- Al menor  $T$  que satisfaga  $x(t) = x(t + T)$  se le denomina periodo **fundamental**.

# Multiplicidad de periodo

Nótese que si  $x(t)$  es periódica con periodo  $T$  entonces

$$x(t + 2T) = x((t + T) + T) = x(t + T) = x(t)$$

y en general con  $k \in \mathbb{Z}$ .

$$x(t + kT) = x((t + (k - 1)T) + T) = x(t + (k - 1)T) = \cdots = x(t)$$

Una función periódica con periodo  $T$  también es periódica con periodo  $kT$ .

# Funciones exponenciales complejas

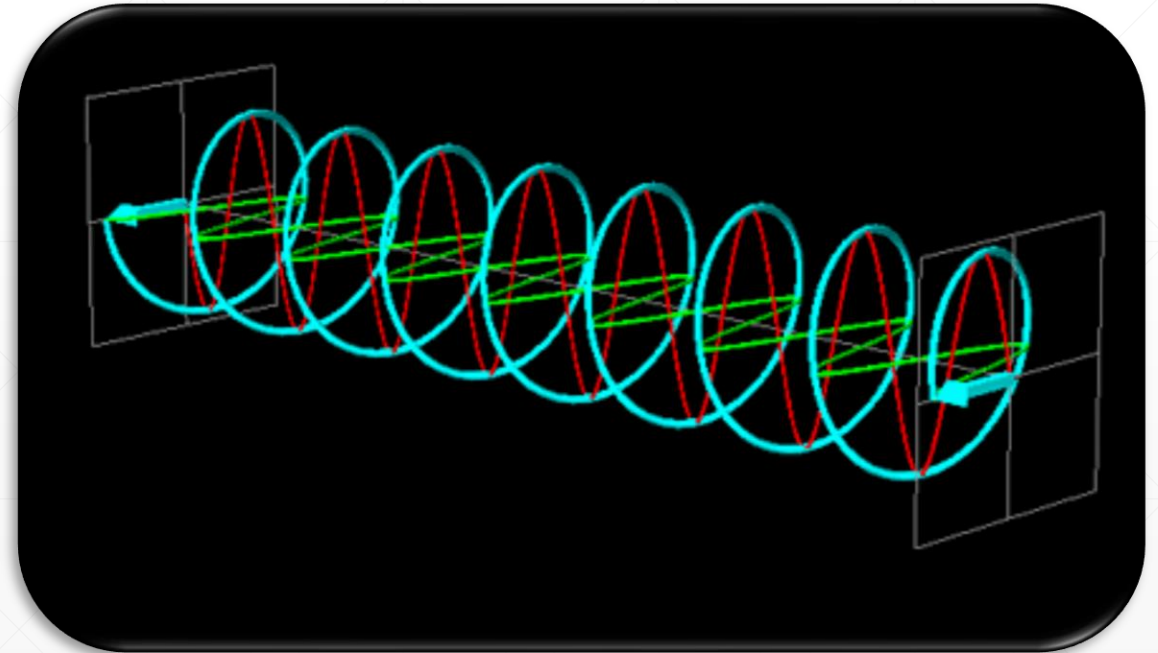
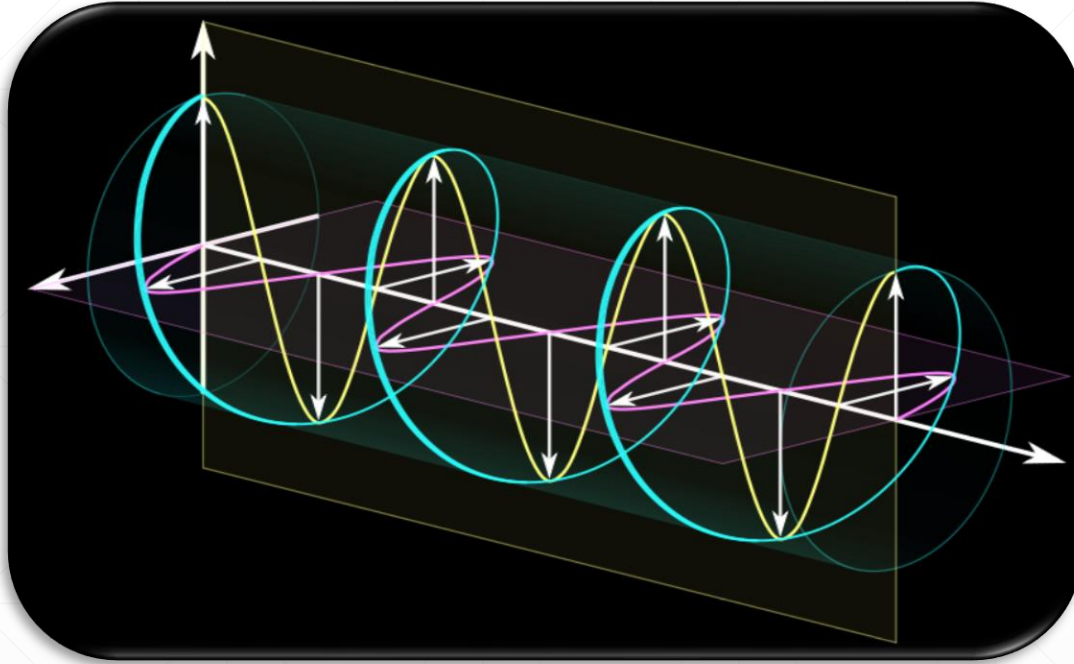
- Las funciones exponenciales complejas

$$s_k(t) = e^{jk\omega_0 t} = e^{j2\pi k f_0 t} \quad k = 0, \pm 1, \pm 2, \dots$$

se dice estar **relacionadas armónicamente** por tener todas un periodo común  $T_p = 1/f_0$ .

- El periodo fundamental de la señal  $s_k(t)$  es  $1/(kf_0) = T_p/k$ , lo que equivale a una frecuencia  $kf_0$ .
- Puesto que una señal periódica con periodo  $T_p/k$  es también periódica con periodo  $k(T_p/k) = T_p$  con  $k \in \mathbb{Z}$  entonces todas las señales  $s_k(t)$  tienen como periodo común  $T_p$ .

# Funciones exponenciales complejas



# Producto interno de dos funciones exponenciales armónicamente relacionadas

Evaluando el producto interno definido en un periodo

$$\begin{aligned}\langle s_i(t), s_k(t) \rangle &= \int_{t_0}^{t_0+T_p} s_i^*(t) s_k(t) dt \\ &= \int_{t_0}^{t_0+T_p} (e^{j\omega_0 it})^* e^{j\omega_0 kt} dt = \int_{t_0}^{t_0+T_p} e^{-j\omega_0 it} e^{j\omega_0 kt} dt \\ &= \int_{t_0}^{t_0+T_p} e^{j\omega_0 (k-i)t} dt\end{aligned}$$

# Producto interno de dos funciones exponenciales armónicamente relacionadas: caso $k = i$

Para el caso  $k = i$  se obtiene

$$\langle s_k(t), s_k(t) \rangle = \int_{t_0}^{t_0+T_p} e^{j\omega_0(0)t} dt = \int_{t_0}^{t_0+T_p} 1 dt = T_p$$

lo que quiere decir que con un periodo  $T_p$  común a todas las funciones exponenciales armónicas, la norma de  $s_k(t) = e^{j\omega_0 kt}$  está dada por:

$$\|s_k(t)\|^2 = \langle s_k(t), s_k(t) \rangle = T_p$$



# Producto interno de dos funciones exponenciales armónicamente relacionadas: caso $k \neq i$

Para el caso  $k \neq i$  se obtiene

$$\langle s_i(t), s_k(t) \rangle = \frac{e^{j\omega_0(k-i)t}}{j\omega_0(k-i)} \Bigg|_{t_0}^{t_0+T_p} = \frac{e^{j\omega_0(k-i)t_0}(e^{j\omega_0(k-i)T_p} - 1)}{j\omega_0(k-i)}$$

Considerando finalmente que  $\omega_0 T_p = 2\pi$  se obtiene

$$\langle s_i(t), s_k(t) \rangle = \frac{e^{j\omega_0(k-i)t_0}(e^{j\omega_0(k-i)T_p} - 1)}{j\omega_0(k-i)} = 0$$

Con lo que queda demostrada la Ortogonalidad de las funciones exponenciales complejas armónicamente relacionadas  $s_k(t) = e^{j\omega_0 kt}$ .

# Completitud de base $\{s_k(t)\}$

Se pueden demostrar además que el conjunto de todas las funciones  $s_k(t)$ , con  $k \in \mathbb{Z}$  engendran un espacio completo con todas las funciones periódicas que cumplen las llamadas **condiciones de Dirichlet**.

# Serie de Fourier

---

# Análisis y síntesis

La **serie de Fourier sintetiza** funciones periódicas  $x(t) = x(t + kT_p)$  con:

$$x(t) = \sum_{k=-\infty}^{\infty} c_k e^{j\omega_0 kt}$$

y **analiza**, o extrae cada componente armónica con:

$$c_k = \frac{1}{T_p} \int_{t_0}^{t_0+T_p} e^{-j\omega_0 kt} x(t) dt$$

# Simetría hermítica en funciones reales

- Caso particular: funciones  $x(t)$  de valor real
- En este caso, puesto que  $x^*a = (xa)^*$  cuando  $x \in \mathbb{C}$  y  $a \in \mathbb{R}$ , y  $x^* + y^* = (x + y)^*$ , entonces se cumple con  $k \in \mathbb{N}^+$

$$\begin{aligned}c_{-k} &= \frac{\langle s_{-k}(t), x(t) \rangle}{\|s_{-k}(t)\|^2} = \frac{\langle e^{-j\omega_0 kt}, x(t) \rangle}{\|e^{-j\omega_0 kt}\|^2} \\&= \frac{1}{T_p} \int_{t_0}^{t_0+T_p} (e^{-j\omega_0 kt})^* x(t) dt \\&= \frac{1}{T_p} \int_{t_0}^{t_0+T_p} (e^{-j\omega_0 kt} x(t))^* dt \\&= \frac{1}{T_p} \left( \int_{t_0}^{t_0+T_p} e^{-j\omega_0 kt} x(t) dt \right)^* \\&= \left( \frac{1}{T_p} \int_{t_0}^{t_0+T_p} e^{-j\omega_0 kt} x(t) dt \right)^* = c_k^*\end{aligned}$$

# Simetría hermítica en funciones reales

- A esta relación, que también puede escribirse como  $c_{-k}^* = c_k$  se le conoce como simetría conjugada o simetría hermítica de los coeficientes de Fourier para funciones reales.
- Simetría hermítica implica que la magnitud de  $c_k$  y  $c_{-k}$  son iguales, y que el ángulo de  $c_k$  es igual al inverso aditivo del ángulo de  $c_{-k}$  ( $\angle c_k = -\angle c_{-k}$ )

# Serie de cosenos

(1)

Utilizando el hecho de que  $z + z^* = 2\text{Re}\{z\}$  se puede reescribir

$$x(t) = \sum_{k=-\infty}^{\infty} c_k e^{j\omega_0 kt}$$

con  $c_k = |c_k|e^{j\theta_k}$  como

$$\begin{aligned} x(t) &= \sum_{k=-\infty}^{\infty} c_k e^{j\omega_0 kt} = \sum_{k=-\infty}^{-1} c_k e^{j\omega_0 kt} + c_0 + \sum_{k=1}^{\infty} c_k e^{j\omega_0 kt} \\ &= \sum_{k=1}^{\infty} c_{-k} e^{-j\omega_0 kt} + c_0 + \sum_{k=1}^{\infty} c_k e^{j\omega_0 kt} \\ &= c_0 + \sum_{k=1}^{\infty} \left( (c_k e^{j\omega_0 kt})^* + c_k e^{j\omega_0 kt} \right) \end{aligned}$$

# Serie de cosenos

(2)

$$\begin{aligned}x(t) &= c_0 + \sum_{k=1}^{\infty} 2\operatorname{Re}\{c_k e^{j\omega_0 kt}\} = c_0 + \sum_{k=1}^{\infty} 2|c_k| \operatorname{Re}\{e^{j(\omega_0 kt + \theta_k)}\} \\&= c_0 + \sum_{k=1}^{\infty} 2|c_k| \cos(\omega_0 kt + \theta_k) \\&= c_0 + \sum_{k=1}^{\infty} \tilde{c}_k \cos(\omega_0 kt + \theta_k)\end{aligned}$$

con  $\tilde{c}_k = 2|c_k|$  que tiene todos valores reales.



# Valor CD

Siguiendo  $s_0(t) = e^{j\omega_0 t} = 1$  entonces

$$c_0 = \frac{1}{T_p} \int_{t_0}^{t_0+T_p} x(t) dt$$

que adquiere siempre un valor real, y equivale al valor medio de la función  $x(t)$  en un periodo  $T_p$ .

## Componente CD

A este coeficiente  $c_0$  se le denomina en ingeniería la componente CD de la señal o función  $x(t)$ .

# Serie de cosenos en forma convencional

Por convención la serie de cosenos se escribe con frecuencia como

$$x(t) = \sum_{k=0}^{\infty} \tilde{c}_k \cos(\omega_0 kt + \theta_k)$$

donde  $\tilde{c}_0$  es entonces  $|c_0|$  y  $\theta_0$  es cero si  $c_0 \geq 0$  o  $\pi$  si  $c_0 < 0$ .

# Serie de senos y cosenos

(1)

Otra representación de la serie de Fourier para funciones reales  $x(t)$  se obtiene utilizando la identidad de Euler:

$$\begin{aligned}x(t) &= \sum_{k=1}^{\infty} c_{-k} e^{-j\omega_0 kt} + c_0 + \sum_{k=1}^{\infty} c_k e^{j\omega_0 kt} \\&= c_0 + \sum_{k=1}^{\infty} c_{-k} (\cos(\omega_0 kt) - j \operatorname{sen}(\omega_0 kt)) + \sum_{k=1}^{\infty} c_k (\cos(\omega_0 kt) + j \operatorname{sen}(\omega_0 kt)) \\&= c_0 + \sum_{k=1}^{\infty} (c_k + c_{-k}) (\cos(\omega_0 kt)) + j \sum_{k=1}^{\infty} (c_k - c_{-k}) (\operatorname{sen}(\omega_0 kt))\end{aligned}$$

# Serie de senos y cosenos

(2)

y considerando  $c_{-k}^* = c_k$

$$x(t) = c_0 + \sum_{k=1}^{\infty} (c_k + c_k^*) \cos(\omega_0 kt) + j \sum_{k=1}^{\infty} (c_k - c_k^*) \sin(\omega_0 kt)$$

$$x(t) = c_0 + \sum_{k=1}^{\infty} 2\operatorname{Re}\{c_k\} \cos(\omega_0 kt) - \sum_{k=1}^{\infty} 2\operatorname{Im}\{c_k\} \sin(\omega_0 kt)$$

$$x(t) = \frac{1}{2} a_0 + \sum_{k=1}^{\infty} a_k \cos(\omega_0 kt) + \sum_{k=1}^{\infty} b_k \sin(\omega_0 kt)$$

con  $a_0 = 2c_0$ ,  $a_k = 2\operatorname{Re}\{c_k\} = 2|c_k|\cos(\theta_k)$  y  $b_k = -2\operatorname{Im}\{c_k\} = -2|c_k|\sin(\theta_k)$ ,  
es decir:

$$c_k = \frac{1}{2} (a_k - jb_k)$$

# Serie de senos y cosenos

(3)

Utilizando

$$c_k = \frac{\langle u_k(t), x(t) \rangle}{\|u_k(t)\|^2}$$

se deriva además:

$$a_k = \frac{\langle \cos(\omega_0 kt), x(t) \rangle}{\|\cos(\omega_0 kt)\|^2} = \frac{2}{T_p} \int_{t_0}^{t_0+T_p} x(t) \cos(\omega_0 kt) dt$$

$$b_k = \frac{\langle \sin(\omega_0 kt), x(t) \rangle}{\|\sin(\omega_0 kt)\|^2} = \frac{2}{T_p} \int_{t_0}^{t_0+T_p} x(t) \sin(\omega_0 kt) dt$$

lo que justifica la elección de  $a_0 = 2c_0$  para que sea compatible con la expresión más general de  $a_k$ .

# Componentes espectrales

- La descomposición de una función real  $x(t)$  en una serie de Fourier brindará un conjunto de coeficientes  $c_k$  (o  $a_k$  y  $b_k$ , o  $\tilde{c}_k$ ) que indican qué tan “fuerte” es la  **$k$ -ésima** componente de la serie con frecuencia angular  $k\omega_0$ .
- $|c_k|^2$  indica incluso cuánta potencia contiene esa componente.
- La **serie de Fourier** es un primer paso para realizar un análisis en el dominio de la frecuencia.

# Condiciones de Dirichlet

Las condiciones de Dirichlet garantizan la convergencia de la serie de Fourier en todo punto de  $x(t)$  excepto en sus discontinuidades, donde la serie converge al valor medio de la discontinuidad. Estas condiciones son:

1. La función  $x(t)$  es absolutamente integrable en un periodo.

$$\int_{t_0}^{t_0+T_p} |x(t)| dt < \infty$$

2. La función  $x(t)$  contiene un número finito de máximos y mínimos en cualquier periodo.
3. La función  $x(t)$  contiene un número finito de discontinuidades en cualquier periodo.

Estas condiciones son **suficientes** pero **no necesarias**.

# Rapidez de convergencia

Relación de las discontinuidades de  $x(t)$  con la rapidez de convergencia de  $c_k$ :

1. Si  $x(t)$  tiene un número finito de discontinuidades entonces sus coeficientes decrecen a una tasa  $1/k$ .
2. Si  $x(t)$  es continua, pero su primera derivada es discontinua (la función tiene “picos”) entonces los coeficientes decrecen a una tasa  $1/k^2$ .
3. Si  $x(t)$  y todas sus derivadas hasta de  $n$ -ésimo orden son continuas, pero la  $(n + 1)$ -ésima derivada es discontinua entonces los coeficientes decrecen a una tasa  $1/k^{n+2}$ .

Las observaciones anteriores estipulan que mientras más suave sea una función, más rápido convergerá su **serie de Fourier**.

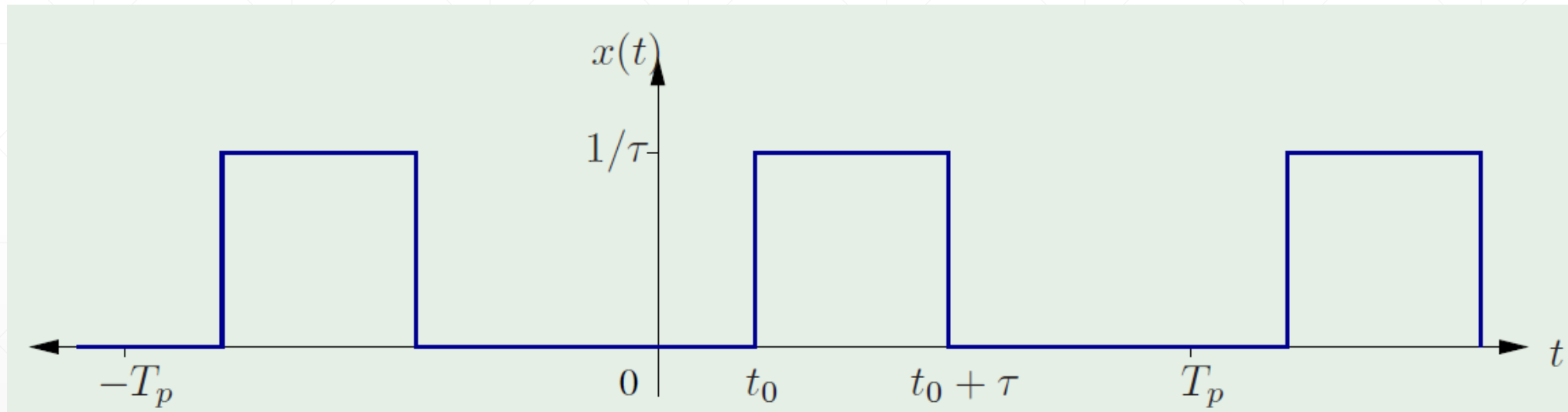


# Señal Rectangular

---

## Ejemplo: Serie de Fourier de señal rectangular (1)

Calcule los coeficientes de la Serie de Fourier para una señal rectangular utilizando las tres bases funcionales presentadas anteriormente.



## Ejemplo: Serie de Fourier de señal rectangular (2)

**Solución:**

Los coeficientes de la serie exponencial compleja

$$x(t) = \sum_{k=-\infty}^{\infty} c_k e^{j\omega_0 kt}$$

se calculan como:

$$c_k = \frac{1}{T_p} \int_0^{T_p} e^{-j\omega_0 kt} x(t) dt = \frac{1}{T_p \tau} \int_{t_0}^{t_0 + \tau} e^{-j\omega_0 kt} dt$$

para  $k = 0$  se tiene con  $e^{-j0} = 1$

$$c_0 = \frac{1}{T_p \tau} \int_{t_0}^{t_0 + \tau} dt = \frac{1}{T_p \tau} t \Big|_{t_0}^{t_0 + \tau} = \frac{1}{T_p \tau} [(t_0 + \tau) - t_0] = \frac{1}{T_p \tau} \tau = \frac{1}{T_p}$$

## Ejemplo: Serie de Fourier de señal rectangular (3)

y para  $k \neq 0$

$$\begin{aligned}c_k &= \frac{1}{T_p} \frac{e^{-j\omega_0 kt}}{-j\omega_0 k\tau} \Big|_{t_0}^{t_0+\tau} \\&= \frac{1}{T_p} \frac{e^{-j\omega_0 k(t_0+\tau)} - e^{-j\omega_0 kt_0}}{-j\omega_0 k\tau} = \frac{1}{T_p} e^{-j\omega_0 kt_0} \frac{(e^{-j\omega_0 k\tau} - 1)}{-j\omega_0 k\tau} \\&= \frac{2}{T_p} e^{-j\omega_0 kt_0} e^{-j\frac{\omega_0 k\tau}{2}} \frac{(e^{-j\frac{\omega_0 k\tau}{2}} - e^{j\frac{\omega_0 k\tau}{2}})}{-2j\omega_0 k\tau} \\&= \frac{2}{T_p} e^{-j\omega_0 k(t_0+\frac{\tau}{2})} \frac{(e^{j\frac{\omega_0 k\tau}{2}} - e^{-j\frac{\omega_0 k\tau}{2}})}{2j\omega_0 k\tau} = \frac{1}{T_p} \frac{\text{sen}\left(\frac{\omega_0 k\tau}{2}\right)}{\frac{\omega_0 k\tau}{2}} e^{-j\omega_0 k(t_0+\frac{\tau}{2})} \\c_k &= \frac{1}{T_p} \text{sa}\left(\frac{\omega_0 k\tau}{2}\right) e^{-j\omega_0 k(t_0+\frac{\tau}{2})}\end{aligned}$$

## Ejemplo: Serie de Fourier de señal rectangular (4)

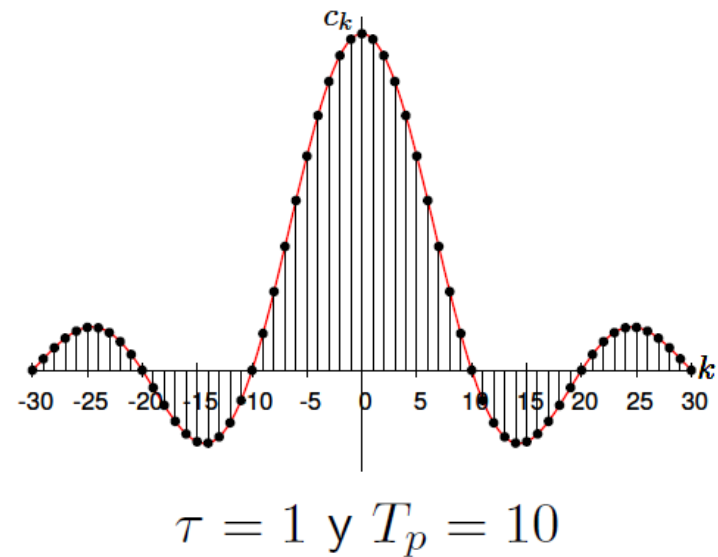
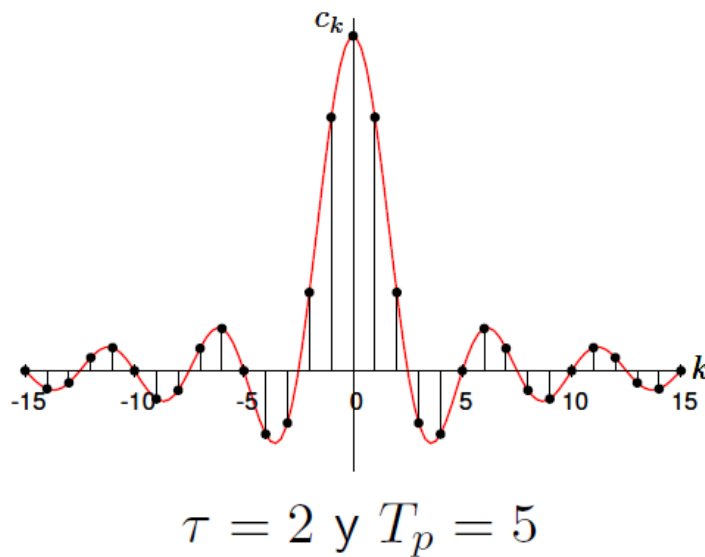
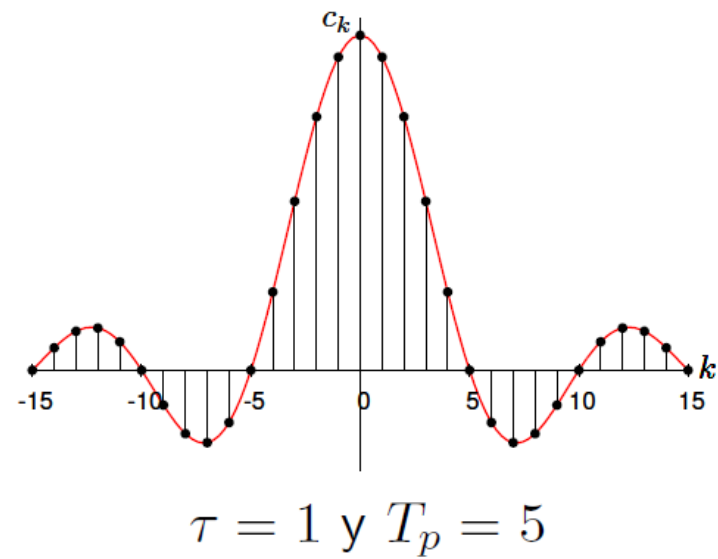
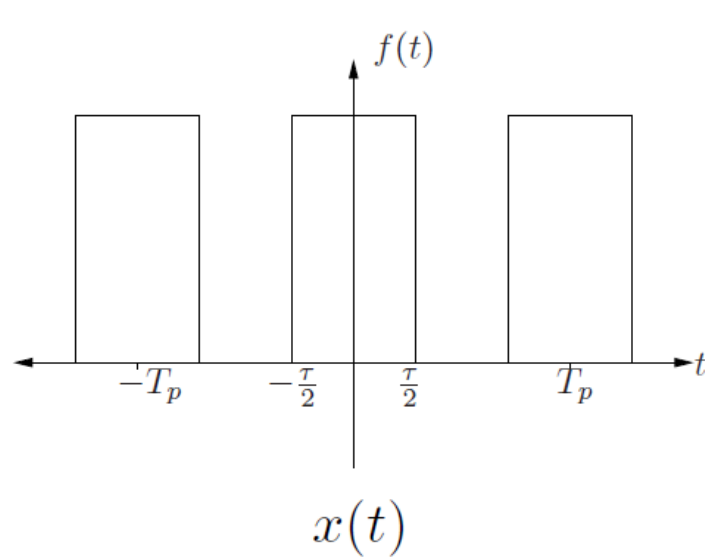
de donde se obtiene finalmente

$$|c_k| = \frac{1}{T_p} \left| \text{sa} \left( \frac{\omega_0 k \tau}{2} \right) \right|$$
$$\angle c_k = \begin{cases} -\omega_0 k \left( t_0 + \frac{\tau}{2} \right) & \text{si } \text{sa}(\omega_0 k \tau / 2) \geq 0 \\ \pi - \omega_0 k \left( t_0 + \frac{\tau}{2} \right) & \text{si } \text{sa}(\omega_0 k \tau / 2) < 0 \end{cases}$$

Por existir discontinuidades en la función a aproximar, los coeficientes decrecen a una tasa  $1/k$  al ser el seno una función acotada y estar dividida por un término múltiplo de  $k$ .

Si  $t_0$  se elige como  $-\tau/2$  entonces los coeficientes  $c_k$  son reales. Estos pueden graficarse en un eje de frecuencias para varios valores de  $T_p$  y  $\tau$ .

# Ejemplo: Serie de Fourier de señal rectangular (5)



## Ejemplo: Serie de Fourier de señal rectangular (6)

- Los coeficientes  $c_k$  se han espaciado de tal modo que el eje horizontal tiene las mismas unidades de frecuencia, es decir, la distancia entre  $c_i$  y  $c_{i+1}$  es proporcional a  $1/T_p$ .
- Nótese que mientras más baja la frecuencia, mayor es  $T_p$  y la distancia entre los coeficientes  $c_k$  (que se denominarán aquí líneas espectrales) disminuye.
- Por otro lado, si  $\tau$  aumenta, entonces la función envolvente  $sa(\omega_0 k \tau / 2)$  se comprime.
- De la ecuación para  $c_k$  se observa incluso que si  $\tau$  tiende a  $T_p$ , entonces  $\omega_0 k \tau / 2$  tiende a  $\pi k$ , y puesto que  $sa(k\pi)$  es cero para todo  $k \neq 0$ , entonces  $c_k = 0$  para  $k \neq 0$ .
- El único coeficiente diferente de cero es en este caso entonces  $c_0$ . Esto tiene sentido puesto que si  $\tau \rightarrow T_p$  entonces  $x(t)$  será una función constante, y su única componente espectral se encuentra en la frecuencia cero.

## Ejemplo: Serie de Fourier de señal rectangular (7)

Para la representación como serie infinita de funciones cosenoidales desfasadas

$$x(t) = \sum_{k=0}^{\infty} \tilde{c}_k \cos(\omega_0 k t + \theta_k)$$

se obtiene de lo anterior

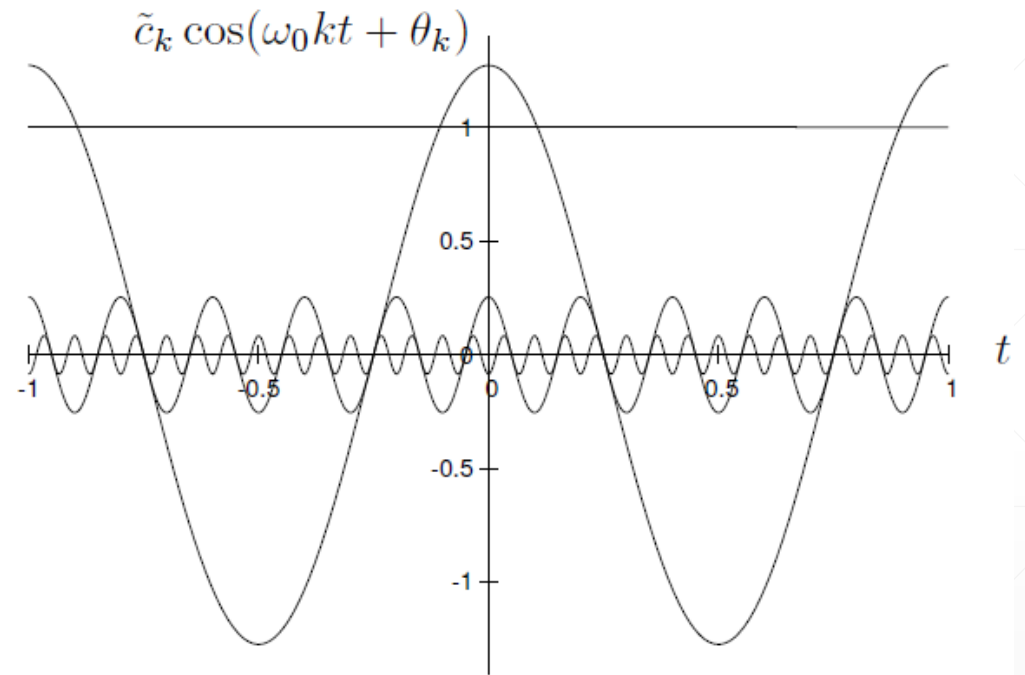
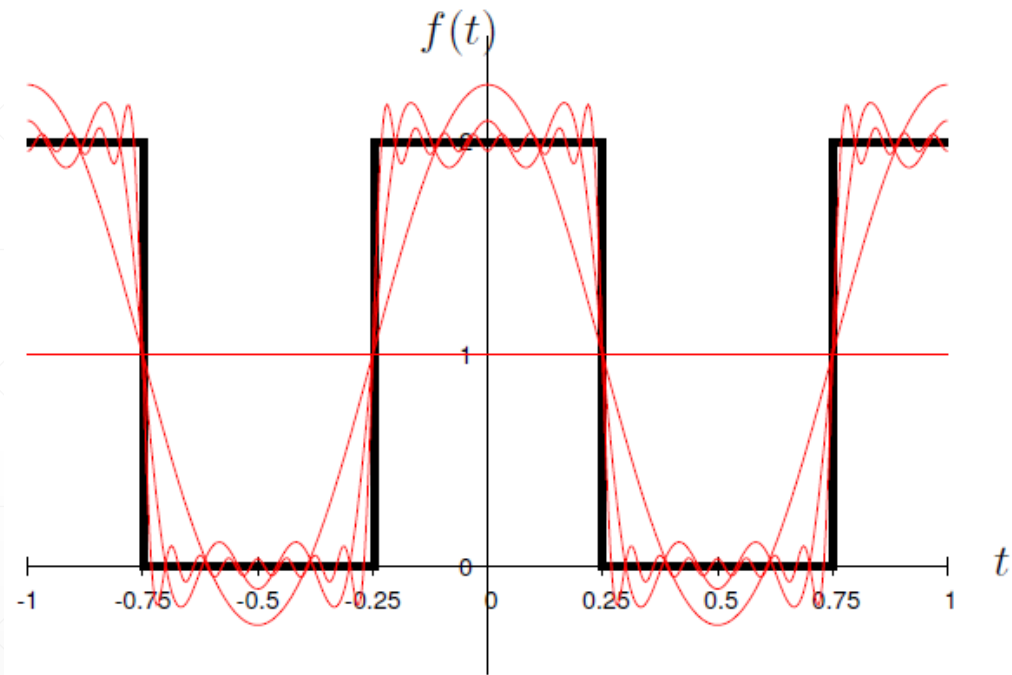
$$\tilde{c}_0 = c_0 = \frac{1}{T_p}$$

$$\tilde{c}_k = 2|c_k| = \frac{2}{T_p} \left| \text{sa} \left( \frac{\omega_0 k \tau}{2} \right) \right|, \quad k > 0$$

$$\theta_k = \angle c_k = \begin{cases} -\omega_0 k \left( t_0 + \frac{\tau}{2} \right) & \text{si } \text{sa}(\omega_0 k \tau / 2) \geq 0 \\ \pi - \omega_0 k \left( t_0 + \frac{\tau}{2} \right) & \text{si } \text{sa}(\omega_0 k \tau / 2) < 0 \end{cases}$$



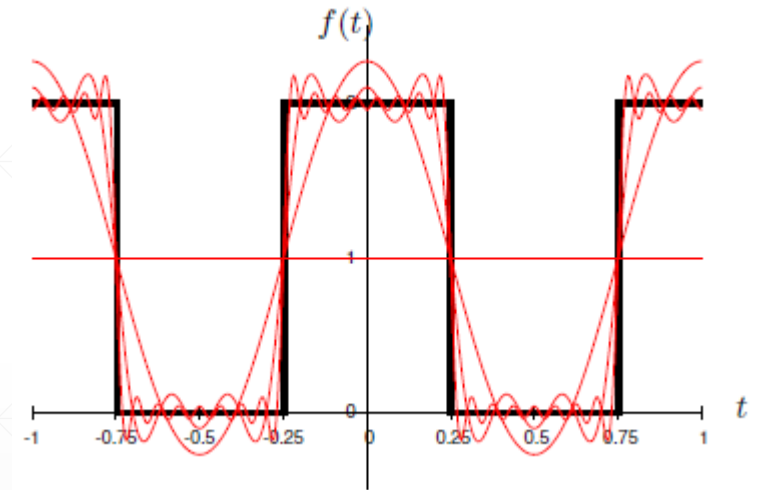
## Ejemplo: Serie de Fourier de señal rectangular (8)



Armónicos 1, 2, 5 y 15

## Ejemplo: Serie de Fourier de señal rectangular (9)

- La convergencia es relativamente rápida
- Las aproximaciones en la discontinuidad de  $x(t)$  pasan por el promedio de los límites de la señal a la izquierda y a la derecha.
- La aproximación de la función en las cercanías de la discontinuidad siempre exhibirá sobreoscilaciones conocidas como el **fenómeno de Gibbs**.
- Este fenómeno no desaparece, simplemente el pico producido se acerca arbitrariamente a la discontinuidad.



## Ejemplo: Serie de Fourier de señal rectangular (10)

Para la última representación como serie infinita trigonométrica

$$x(t) = \frac{1}{2}a_0 + \sum_{k=1}^{\infty} a_k \cos(\omega_0 kt) + \sum_{k=1}^{\infty} b_k \operatorname{sen}(\omega_0 kt)$$

los coeficientes  $a_k$  y  $b_k$  se pueden obtener directamente

$$a_0 = 2c_0 = \frac{2}{T_p}$$

$$a_k = 2|c_k| \cos(\theta_k) = \frac{2}{T_p} sa\left(\frac{\omega_0 k \tau}{2}\right) \cos\left(\omega_0 k \left(t_0 + \frac{\tau}{2}\right)\right)$$

$$b_k = -2|c_k| \operatorname{sen}(\theta_k) = \frac{2}{T_p} sa\left(\frac{\omega_0 k \tau}{2}\right) \operatorname{sen}\left(\omega_0 k \left(t_0 + \frac{\tau}{2}\right)\right)$$

Para  $t_0 = -\tau/2$  entonces todos los términos  $b_k$  desaparecen.

## Ejemplo: Serie de Fourier

(1)

Determine la serie de Fourier utilizada para sintetizar la función periódica  $x(t)$ , conociendo que el periodo es de 4.

$$x(t) = \begin{cases} \sin(\pi t) & 0 \leq t \leq 2 \\ 0 & 2 \leq t \leq 4 \end{cases}$$

## Ejemplo: Serie de Fourier

(2)

### Solución:

Debido a que la señal no presenta componente CD, el coeficiente  $c_0$  es igual a 0.

Luego, se tiene que la síntesis que se desea realizar está dada por:

$$x(t) = \sum_{k=-\infty}^{\infty} c_k e^{j\omega_0 kt}$$

De forma que los coeficientes  $c_k$  están dados por:

$$c_k = \frac{1}{T_p} \int_{t_0}^{t_0+T_p} x(t) e^{-jk\omega_0 t} dt$$

## Ejemplo: Serie de Fourier

(3)

Así, la integral por resolver está dada por:

$$c_k = \frac{1}{4} \int_0^2 \sin(\pi t) e^{-jk\omega_0 t} dt$$

$$c_k = \frac{1}{4} \int_0^2 \left[ \frac{e^{j\pi t} - e^{-j\pi t}}{2j} \right] e^{-jk\omega_0 t} dt$$

$$c_k = \frac{1}{8j} \int_0^2 [e^{j(\pi - k\omega_0)t} - e^{-j(\pi + k\omega_0)t}] dt$$

## Ejemplo: Serie de Fourier

(4)

$$\begin{aligned} c_k &= \frac{1}{8j} \int_0^2 \left[ e^{j(\pi - k\omega_0)t} - e^{-j(\pi + k\omega_0)t} \right] dt \\ &= \frac{1}{8j} \left[ \frac{e^{j(\pi - k\omega_0)t}}{j(\pi - k\omega_0)} - \frac{e^{-j(\pi + k\omega_0)t}}{-j(\pi + k\omega_0)} \right] \Bigg|_0^2 \\ &= \frac{1}{8} \left[ \frac{-e^{j(\pi - k\omega_0)2}}{(\pi - k\omega_0)} - \frac{e^{-j(\pi + k\omega_0)2}}{(\pi + k\omega_0)} + \frac{1}{(\pi - k\omega_0)} + \frac{1}{(\pi + k\omega_0)} \right] \\ &= \frac{1}{8} \left[ \frac{-(-1)^k}{(\pi - k\omega_0)} + \frac{-(-1)^k}{(\pi + k\omega_0)} + \frac{1}{(\pi - k\omega_0)} + \frac{1}{(\pi + k\omega_0)} \right] \end{aligned}$$

## Ejemplo: Serie de Fourier

(5)

$$\begin{aligned}c_k &= \frac{1}{8} \left[ \frac{1 - (-1)^k}{(\pi - k\omega_0)} + \frac{1 - (-1)^k}{(\pi + k\omega_0)} \right] \\&= \frac{1}{8} \left[ \frac{\pi + k\omega_0 + \pi - k\omega_0}{(\pi - k\omega_0)(\pi + k\omega_0)} \right] (1 - (-1)^k) \\&= \frac{1}{8} \left[ \frac{2\pi}{(\pi - k\omega_0)(\pi + k\omega_0)} \right] (1 - (-1)^k) \\&= \frac{1}{4} \left[ \frac{\pi}{(\pi^2 - k^2\omega_0^2)} \right] (1 - (-1)^k) \\&= \frac{1 - (-1)^k}{\pi(4 - k^2)}\end{aligned}$$



## Ejemplo: Serie de Fourier

(6)

Así, para el caso de  $k = 2$ :

$$\begin{aligned} c_2 &= \frac{1}{8j} \int_0^2 \left[ e^{j\left(\pi - 2\frac{2\pi}{4}\right)t} - e^{-j\left(\pi + 2\frac{2\pi}{4}\right)t} \right] dt \\ &= \frac{1}{8j} \int_0^2 1 dt - \frac{1}{8j} \int_0^2 e^{-j2\pi t} dt \\ &= \frac{1}{8j} 2 - \frac{1}{8j} \left[ \frac{e^{-j2\pi t}}{-j2\pi} \right] \Bigg|_0^2 \\ &= \frac{1}{4j} \end{aligned}$$

Y, por simetría hermítica  $c_k = c_{-k}^*$  se tiene que:

$$c_{-2} = \frac{-1}{4j}$$

# Propiedades de la serie de Fourier

---

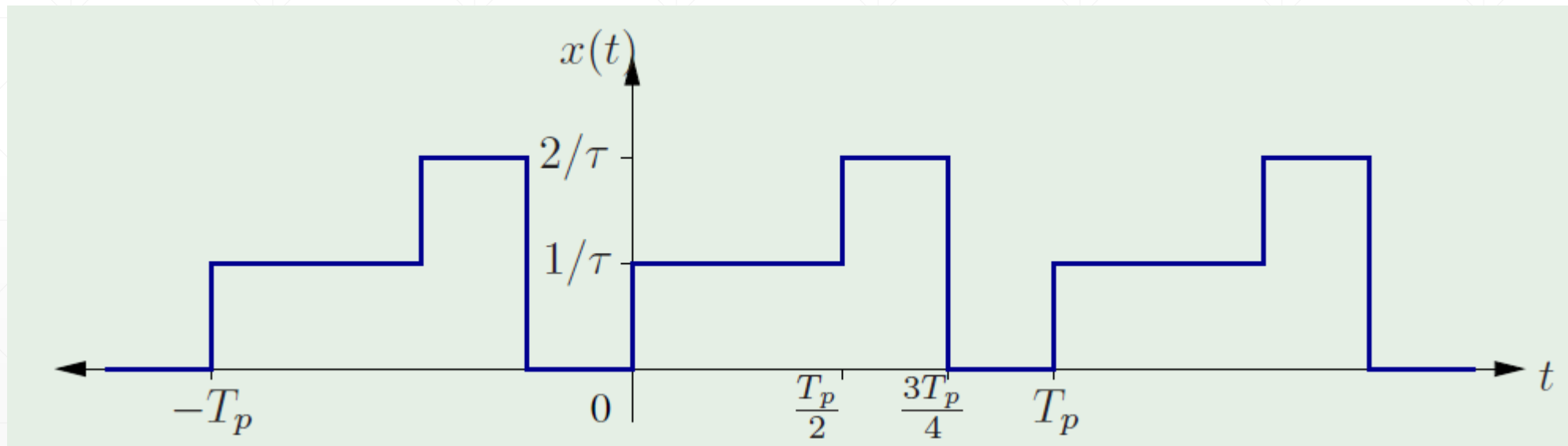
# Linealidad

Sean dos funciones  $x_1(t)$  y  $x_2(t)$  y dos valores escalares  $\alpha_1$  y  $\alpha_2$ . Un operador  $\mathcal{O}\{\cdot\}$  se denomina operador lineal si cumple con la propiedad

$$\mathcal{O}\{\alpha_1 x_1(t) + \alpha_2 x_2(t)\} = \alpha_1 \mathcal{O}\{x_1(t)\} + \alpha_2 \mathcal{O}\{x_2(t)\}$$

# Ejemplo: Linealidad en las series de Fourier (1)

Encuentre los coeficientes de la serie de Fourier para la función mostrada utilizando la propiedad de linealidad y la serie de Fourier de un tren de impulsos rectangulares calculado anteriormente.



## Ejemplo: Linealidad en las series de Fourier (2)

**Solución:** Hay varias maneras de generar la función mostrada como combinación lineal de funciones rectangulares. Aquí se mostrará solo un ejemplo.

Si  $x_1(t)$  es igual a la función rectangular con  $\tau = T_p/2$  y  $t_0 = 0$  entonces su desarrollo es:

$$x_1(t) = \sum_{k=-\infty}^{\infty} c_1 e^{j\omega_0 k t}$$

$$c_{1k} = \frac{1}{T_p} \text{sa} \left( \frac{\omega_0 k \tau}{2} \right) e^{-j\omega_0 k \left( t_0 + \frac{\tau}{2} \right)} = \frac{1}{T_p} \text{sa} \left( \frac{\pi k}{2} \right) e^{-j\frac{\pi k}{2}}$$

## Ejemplo: Linealidad en las series de Fourier (3)

Si  $x_2(t)$  es igual a la función rectangular con  $\tau = T_p/4$  y  $t_0 = T_p/2$  entonces

$$x_2(t) = \sum_{k=-\infty}^{\infty} c_{2k} e^{j\omega_0 k t}$$

$$c_{2k} = \frac{1}{T_p} \text{sa} \left( \frac{\omega_0 k \tau}{2} \right) e^{-j\omega_0 k (t_0 + \frac{\tau}{2})} = \frac{1}{T_p} \text{sa} \left( \frac{\pi k}{4} \right) e^{-j\frac{5\pi k}{4}}$$

La función  $x(t)$  tiene entonces como coeficientes

$$\begin{aligned} c_k &= c_{1k} + 2c_{2k} \\ &= \frac{1}{T_p} \text{sa} \left( \frac{\pi k}{2} \right) e^{-j\frac{\pi k}{2}} + \frac{2}{T_p} \text{sa} \left( \frac{\pi k}{4} \right) e^{-j\frac{5\pi k}{4}} \end{aligned}$$

# Simetrías

La función  $x(t)$  es

- **par** o **simétrica** si  $x(t) = x(-t)$ 
  - $c_k \in \mathbb{R}$  y  $c_k = c_{-k}$
- **impar** o **asimétrica** si  $x(t) = -x(-t)$ 
  - $c_k$  es puramente imaginaria y  $c_k = -c_{-k}$ .

## Descomposición de una función: componentes par e impar

Asúmase que  $x(t)$  se puede descomponer en dos partes: una par y otra impar:

$$x(t) = x_e(t) + x_o(t)$$

Si esto es cierto entonces  $x_e(t) = x_e(-t)$  y  $x_o(t) = -x_o(-t)$ , y por tanto

$$\begin{aligned} x(t) &= x_e(t) + x_o(t) \\ x(-t) &= x_e(t) - x_o(t) \end{aligned}$$

Sumando y restando las dos ecuaciones se obtiene

$$\begin{aligned} x_e(t) &= \frac{x(t) + x(-t)}{2} \\ x_o(t) &= \frac{x(t) - x(-t)}{2} \end{aligned}$$



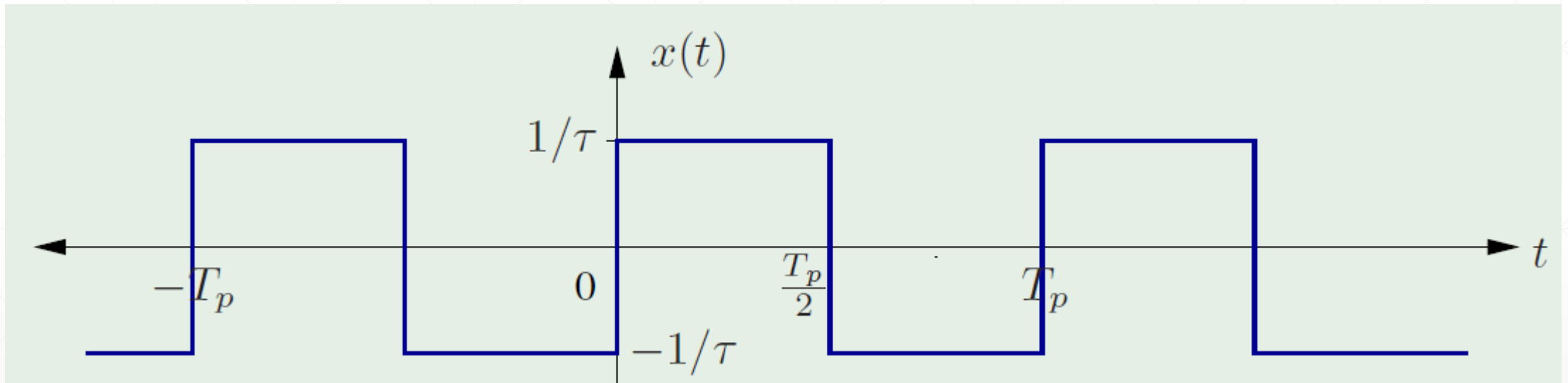
# Implicaciones de simetrías

Por linealidad

- La componente **real** de los coeficientes  $c_k$  de  $x(t)$  proviene de  $x_e(t)$ ; y
- La componente **imaginaria** proviene de  $x_o(t)$ .

# Ejemplo: Simetría en series de Fourier (1)

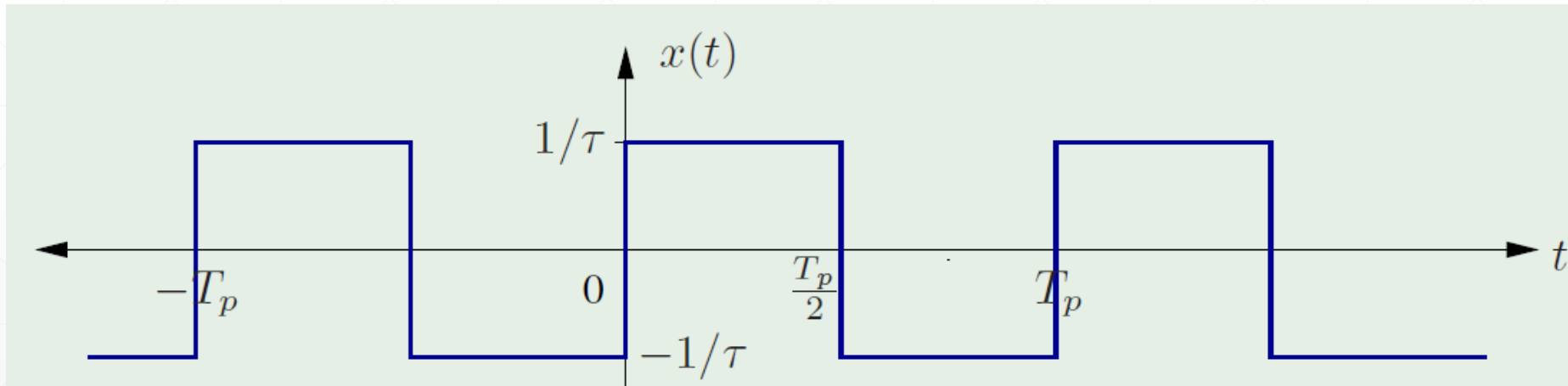
Encuentre los coeficientes de la serie de Fourier para la función periódica representada en la siguiente figura:



# Ejemplo: Simetría en series de Fourier (2)

## Solución:

- La figura muestra una función rectangular impar
- Esta función se diferencia de las utilizadas en ejemplos anteriores únicamente en nivel CD, que en este caso es cero, y por tanto el coeficiente  $c_0$  es cero.



## Ejemplo: Simetría en series de Fourier (3)

- Observando que la amplitud de la señal es dos veces la utilizada en el ejemplo del impulso rectangular se tiene entonces que

$$x(t) = \sum_{k=-\infty}^{\infty} c_k e^{j\omega_0 kt}$$

$$c_k = \frac{2}{T_p} \text{sa} \left( \frac{\omega_0 k \tau}{2} \right) e^{-j\omega_0 \left( t_0 + \frac{\tau}{2} \right)} = \frac{2}{T_p} \text{sa} \left( \frac{\pi k}{2} \right) e^{-j\frac{\pi k}{2}}; k \neq 0$$

$$c_k = \begin{cases} -j \frac{4}{T_p k \pi} & \text{si } k \text{ es impar} \\ 0 & \text{si } k \text{ es par o } 0 \end{cases}$$

que es completamente imaginario y es una función de variable entera impar en  $k$ .

# Desplazamiento en el tiempo

- Desplazamiento temporal no altera  $T_p$ .
- Si tiene una función  $x(t)$  con coeficientes de serie de Fourier  $c_k$ . Al realizar un desplazamiento de la función en el tiempo por un valor de  $\tau$ , los coeficientes de la función  $x(t - \tau)$  están dados por:

$$c'_k = e^{-j\omega_0 k\tau} c_k$$

Es decir, un **desplazamiento en el tiempo** produce un **cambio de fase**.

# Inversión en el tiempo

Si  $x(t)$  tiene como expansión en serie de Fourier

$$x(t) = \sum_{k=-\infty}^{\infty} c_k e^{j\omega_0 kt}$$

La función  $x(-t)$  tiene como coeficientes  $c_{-k}$ .

# Escalamiento en el tiempo

- La dilatación o contracción del eje temporal  $t$  (con inversión o sin ella) se plantea en términos de un escalamiento temporal, es decir, multiplicando la variable  $t$  por una constante  $\alpha$ .
- Cuando esto ocurre, el periodo de la nueva señal  $x(\alpha t)$  es modificado por la constante  $\alpha$ :

$$x(\alpha t) = \sum_{k=-\infty}^{\infty} c_k e^{j\omega_0 k(\alpha t)} = \sum_{k=-\infty}^{\infty} c_k e^{j(\alpha\omega_0)kt}$$

- Esto puede interpretarse de la siguiente manera: el escalamiento en el tiempo de una función no altera los coeficientes  $c_k$ , pero sí la serie de Fourier, puesto que sus bases funcionales  $e^{j(\alpha\omega_0)kt}$  tienen una nueva frecuencia fundamental  $\alpha\omega_0$ .

# Multiplicación

Dos propiedades por analizar:

- los coeficientes del producto de funciones.
- la función que tiene como coeficientes el producto de los coeficientes correspondientes a dos funciones.



# Coeficientes del producto de dos funciones (1)

Utilizando esto, pueden encontrarse los coeficientes del producto de dos funciones periódicas  $x_1(t)$  y  $x_2(t)$ , ambas con el mismo periodo  $T_p$ , y con coeficientes  $c_{1k}$  y  $c_{2k}$  para sus respectivos desarrollos en series de Fourier:

$$x(t) = x_1(t)x_2(t) = \sum_{l'=-\infty}^{\infty} c_{l'} e^{jw_0 l' t}$$

Donde

$$c_{l'} = \sum_{k=-\infty}^{\infty} c_{1k} c_{2(l'-k)}$$

La cual se le conoce como **convolución discreta** de  $c_{1k}$  y  $c_{2k}$ .

## Función correspondiente al producto de coeficientes (1)

- Sean  $c_{1k}$  y  $c_{2k}$  los coeficientes del desarrollo en serie de Fourier de las funciones  $x_1(t)$  y  $x_2(t)$  respectivamente.
- Se desea ahora encontrar la función  $x(t)$  que tiene como coeficientes  $c_k$  el producto  $c_k = c_{1k}c_{2k}$ .
- De lo cual se obtiene que:

$$x(t) = \frac{1}{T_p} \int_{t_0}^{t_0+T_p} x_1(\tau)x_2(t-\tau)d\tau$$

La cual se conoce como la convolución periódica de  $x_1(t)$  y  $x_2(t)$

# Conjugación y simetría conjugada

- Si  $x(t)$  es una función compleja, interesa observar cómo se comportan los coeficientes de  $x^*(t)$ , en comparación a los  $c_k$  correspondientes a  $x(t)$ .
- Aplicando la conjugación compleja a ambos lados de la representación de función como serie se obtiene

$$(x(t))^* = \left( \sum_{k=-\infty}^{\infty} c_k e^{j\omega_0 kt} \right)^*$$
$$x^*(t) = \sum_{k=-\infty}^{\infty} c_k^* e^{-j\omega_0 kt} = \sum_{k=-\infty}^{\infty} c_{-k}^* e^{j\omega_0 kt}$$

es decir,  $x^*(t)$  tiene como coeficientes  $c_{-k}^*$

- Esto confirma el resultado obtenido para funciones reales, pues en dicho caso  $x(t) = x^*(t)$  y por lo tanto  $c_k = c_{-k}^*$ , lo que representa simetría hermítica con respecto al índice  $k$ .

# Derivación

Considerando la función  $x(t)$  y su desarrollo en serie de Fourier se puede observar el efecto de aplicar el operador de derivación de la siguiente manera:

$$\begin{aligned}\frac{d}{dt}x(t) &= \frac{d}{dt} \left( \sum_{k=-\infty}^{\infty} c_k e^{j\omega_0 kt} \right) \\ &= \sum_{k=-\infty}^{\infty} c_k \frac{d}{dt} e^{j\omega_0 kt} \\ &= \sum_{k=-\infty}^{\infty} (j\omega_0 k c_k) e^{j\omega_0 kt}\end{aligned}$$

En otras palabras, la derivación de una función equivale a multiplicar cada uno de sus coeficientes  $c_k$  por  $j\omega_0 k$ .

**¿Cuándo es posible integrar una función periódica de tal modo que el resultado sea periódico?**

# Integración

(2)

- La integración es posible si y solo si el coeficiente  $c_0 = 0$ , puesto que de otra forma la integral crecerá indefinidamente y dejaría de ser periódica, condición necesaria para el cálculo de la **serie de Fourier**.
- Por otro lado, el valor de la integral depende del punto inicial de integración:

$$\begin{aligned}\int_{t_0}^t x(\tau) d\tau &= \int_{t_0}^t \left( \sum_{k=-\infty}^{\infty} c_k e^{j\omega_0 k \tau} \right) d\tau = \sum_{k=-\infty}^{\infty} c_k \int_{t_0}^t e^{j\omega_0 k \tau} d\tau \\ &= \sum_{k=-\infty}^{\infty} c_k \left. \frac{e^{j\omega_0 k \tau}}{j\omega_0 k} \right|_{\tau=t_0}^t = \sum_{k=-\infty}^{\infty} c_k \left( \frac{e^{j\omega_0 k t} - e^{j\omega_0 k t_0}}{j\omega_0 k} \right) \\ &= \sum_{k=-\infty}^{\infty} \frac{c_k}{j\omega_0 k} e^{j\omega_0 k t} - \sum_{k=-\infty}^{\infty} \frac{c_k}{j\omega_0 k} e^{j\omega_0 k t_0}\end{aligned}$$

- El segundo término del lado derecho no depende de la variable  $t$ , y por lo tanto corresponde a una constante determinada por el instante  $t_0$  en el que inicia la integración.
- Por convención se toma la constante como cero cuando  $t_0$  se hace tender  $\rightarrow -\infty$ .
- De esta forma, la integral de la función  $x(t)$  tiene como coeficientes  $c_k/(j\omega_0 k)$

# Implicaciones de la derivación y la integración

- Como conclusión debe anotarse que los coeficientes de la derivada de  $x(t)$ , al estar multiplicados por  $j\omega_0 k$  decrecen más despacio que los coeficientes originales de  $x(t)$  y por tanto la serie converge más lentamente que la serie de  $x(t)$ .
- Por el contrario, al estar divididos los coeficientes de la integral de  $x(t)$  por  $j\omega_0 k$  entonces esta serie converge más rápido que la de  $x(t)$ .



# Energía y potencia

A las funciones de la forma  $|x(t)|^2$  se les asocia usualmente el concepto de **potencia instantánea**, y su integral  $\int_{t_0}^t |x(\tau)|^2 d\tau$  el concepto de **energía**.

¿Cómo se relaciona la **potencia promedio** de una señal periódica en un periodo con respecto a los coeficientes de su **serie de Fourier**?

# Relación de Parseval

A esta relación

$$P_f = \frac{1}{T_p} \int_{t_0}^{t_0+T_p} |x(t)|^2 dt = \sum_{k=-\infty}^{\infty} |c_k|^2$$

se le conoce como la **relación de Parseval** e implica que la potencia media de la señal equivale a la suma de las potencias medias de cada uno de los componentes frecuenciales  $c_k$ , a los que también se les denomina **armónicos**.

# Densidad espectral de potencia

- La gráfica de  $|c_k|^2$  en función de  $k\omega_0$  se conoce como **densidad espectral de potencia**.
- Si  $x(t) \in \mathbb{R}$  entonces  $|c_{-k}| = |c_k^*| = |c_k|$  lo que implica que la densidad espectral de potencial es par.
- Al par de gráficas de  $|c_k|$  y  $\angle c_k$  contra  $k\omega_0$  se les denomina **espectro de tensión**, con  $|c_k|$  par e  $\angle c_k$  impar para funciones reales.

Propiedad	Señal en el tiempo	Coeficientes
Linealidad	$x(t), x_1(t), x_2(t)$ $\alpha_1 x_1(t) + \alpha_2 x_2(t)$	$c_k, c_{1k}, c_{2k}$ $\alpha_1 c_{1k} + \alpha_2 c_{2k}$
Simetría par	$x(t) = x(-t)$	$c_k = \frac{2}{T_p} \int_0^{\frac{T_p}{2}} x(t) \cos(\omega_0 k t) dt$ $c_k \in \mathbb{R}$
Simetría impar	$x(t) = -x(-t)$	$c_k = -\frac{2j}{T_p} \int_0^{\frac{T_p}{2}} x(t) \sin(\omega_0 k t) dt$ $c_k \in j\mathbb{R}$
Función real	$x(t) \in \mathbb{R}$	$c_k = c_{-k}^*$
Desplazamiento temporal	$x(t - \tau)$	$e^{-j\omega_0 k \tau} c_k$
Conjugación	$x^*(t)$	$c_{-k}^*$
Inversión en el tiempo	$x(-t)$	$c_{-k}$
Escalamiento en el tiempo	$x(\alpha t), \alpha > 0$	$c_k$
Convolución periódica	$\int_{T_p} x_1(\tau) x_2(t - \tau) d\tau$	$T_p c_{1k} c_{2k}$
Multiplicación	$x_1(t) x_2(t)$	$\sum_{l=-\infty}^{\infty} c_{1l} c_{2k-l}$
Diferenciación	$\frac{dx(t)}{dt}$	$jk\omega_0 c_k$
Integración	$\int_{-\infty}^t x(t) dt, c_0 = 0$	$\frac{c_k}{jk\omega_0}$
Relación de Parseval	$\frac{1}{T_p} \int_{t_0}^{t_0+T_p}  x(t) ^2 dt$	$\sum_{k=-\infty}^{\infty}  c_k ^2$

## Propiedades de la Serie de Fourier

# Bibliografía

- [1] P. Alvarado, Señales y Sistemas. Fundamentos Matemáticos. Instituto Tecnológico de Costa Rica: Centro de Desarrollo de Material Bibliográfico, 2008.

